

岩手大学工学部 正員 岩崎 正二  
北海道大学工学部 正員 能町 純雄

## 1. まえがき

トラスとガーダーは荷重をなす機能をもつものであるが、構造的には全く異なるものである。ガーダーは充実した連続体であり、トラスは肉を取り去った骨組である。この相異なる二つの種をかけ合わせてできる構造物の力学的性質を検討しようとするのが本報告の目的である。ここではこのような構造物として、ガーダーとこのガーダーを補剛するトラスからなるトラストガーダーを考え応力解析を行なう。解析にあたっては部材の規則性を仮定するので求るべき変位、たわみ角が連立差分方程式の形で与えられる。これらの差分方程式は連続の数字における有限なフーリエ積分変換と相似に、フーリエ有限和分変換とその逆変換公式を用いることで容易に解析できる。なおガーダーを補剛するトラスの型式はワーレントラスとする。

## 2. トラストガーダーの解式

図1に示すようなワーレントラスによって補剛されたガーダーを考え、上弦 $r + \frac{1}{2}$ 点の水平、鉛直変位をそれぞれ $u_{r+\frac{1}{2}}$ ,  $w_{r+\frac{1}{2}}$ 、下弦 $r$ 点の各変位とたわみ角を $u_r$ ,  $w_r$ ,  $\theta_r$ とする。ここで格点はすべてヒンジ結合されていると仮定する。図2、図3から $r$ 点と $r + \frac{1}{2}$ 点のまわりの水平、鉛直方向の力のつりあい、さらに $r$ 点におけるモーメントのつりあいから5本のつりあい式が求まる。このつりあい式をフックの法則とたわみ角公式を使って変位の項で表わすと次のようないくつかの連立差分方程式となる。

$$\frac{2E_3A_3}{\lambda} \{ C^3 (\nabla u_{r+\frac{1}{2}} - 2u_r) - C^2 S \Delta w_{r+\frac{1}{2}} \} + \frac{E_1 A_1}{\lambda} \Delta^2 u_{r-1} + H_r = 0 \quad (1)$$

$$\frac{2E_3A_3}{\lambda} \{ C^3 (\nabla u_r - 2u_{r+\frac{1}{2}}) + C^2 S \Delta w_r \} + \frac{E_2 A_2}{\lambda} \Delta^2 u_{r+\frac{1}{2}} + H_{r+\frac{1}{2}} = 0 \quad (2)$$

$$\frac{2E_3A_3}{\lambda} \{ C^2 S \Delta u_{r+\frac{1}{2}} - C S^2 (\nabla w_{r+\frac{1}{2}} - 2w_r) \} + \frac{6E_1 I}{\lambda^2} (\Delta \theta_r - 2\Delta^2 w_{r-1}/\lambda) = P_r \quad (3)$$

$$\frac{2E_3A_3}{\lambda} \{ C^2 S \Delta u_r - C S^2 (\nabla w_r - 2w_{r+\frac{1}{2}}) \} - P_{r+\frac{1}{2}} = 0 \quad (4)$$

$$\frac{2E_1 I}{\lambda} (\Delta^2 \theta_{r-1} + 6\theta_r - 3\Delta^2 w_r/\lambda) + \frac{e E_1 A_1}{\lambda} \Delta^2 u_{r-1} + e H_r = 0 \quad (5)$$

ただし  $\Delta f_r = f_{r+1} - f_r$ ,  $\Delta^2 f_{r-1} = f_{r+1} - 2f_r + f_{r-1}$ ,

$$\Delta^2 f_r = f_{r+1} - f_{r-1}, \nabla f_r = f_{r+1} + f_r, C = \cos \varphi, S = \sin \varphi.$$

上式中 $A_1, A_2, A_3, E_1, E_2, E_3$ はそれぞれガーダー、上弦材、斜材の断面積と弾性定数、 $I$ はガーダーの断面2次モーメント、 $\lambda$ はノール長、 $e$ はガーダー上縁から重心までの距離である。

上式(1)～(5)式で与えられる基本差分方程式にフーリエ定和分変換を施す。すなわち(1)(5)式にcosine変換、(3)式にSine変換、(2)(4)式にhalf sine変換を作用させ境界条件を考慮すると次のようなマトリックス方程式となる。

この方程式を解くことにより定和分変換形での変位、たわみ角が求まり逆変換を行なうことにより実際の変位、たわみ角が求まる。これにより所要の応力、モーメントを求めることができる。

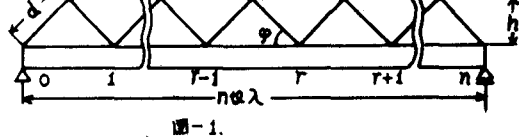
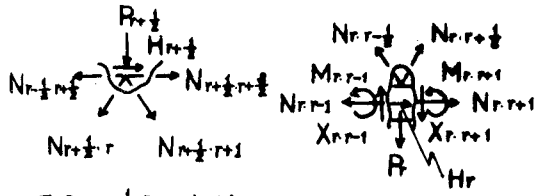


図-1.

図-2.  $r + \frac{1}{2}$ 点における力図-3.  $r$ 点における力

$$\begin{array}{|c|c|c|c|c|c|} \hline & \frac{4E_3A_3C^3}{\lambda} & -\frac{4E_3A_3C^3\cos\frac{it\pi}{2n}}{\lambda} & 0 & \frac{4E_3A_3C^2\sin\frac{it\pi}{2n}}{\lambda} & 0 \\ \hline & +\frac{E_3A_1D_i}{\lambda} & & & & \\ \hline -\frac{4E_3A_3C^3\cos\frac{it\pi}{2n}}{\lambda} & \frac{4E_3A_3C^3}{\lambda} & +\frac{E_3A_2D_i}{\lambda} & -\frac{4E_3A_3C^2\sin\frac{it\pi}{2n}}{\lambda} & 0 & 0 \\ \hline & & & & & \\ \hline 0 & -\frac{4E_3A_3C^2\sin\frac{it\pi}{2n}}{\lambda} & +\frac{12EI}{\lambda^3}D_i & -\frac{4E_3A_3C^2\cos\frac{it\pi}{2n}}{\lambda} & -\frac{12EI}{\lambda^2}\sin\frac{it\pi}{n} & \\ \hline & & & & & \\ \hline \frac{4E_3A_3}{\lambda}C^2\sin\frac{it\pi}{2n} & 0 & -\frac{4E_3A_3C^2\cos\frac{it\pi}{2n}}{\lambda} & \frac{4E_3A_3}{\lambda}CS^2 & 0 & \\ \hline & & & & & \\ \hline \frac{eE_3A_1}{\lambda}D_i & 0 & \frac{12EI}{\lambda^2}\sin\frac{it\pi}{n} & 0 & -\frac{2EI}{\lambda}(6-D_i) & \\ \hline \end{array}$$

$$\begin{aligned} \text{ただし } R_i[U_r] &= \sum_{j=1}^{n-1} U_r \cos \frac{i\pi}{n} r + \frac{U_n}{2} (-1)^i + \frac{U_0}{2}, \quad C_i[U_{r+\frac{1}{2}}] = \sum_{j=0}^{n-1} U_{r+\frac{1}{2}} \cos \frac{i\pi}{n} (r + \frac{1}{2}), \\ S_i[W_r] &= \sum_{j=1}^{n-1} W_r \sin \frac{i\pi}{n} r, \quad \bar{S}_i[W_{r+\frac{1}{2}}] = \sum_{j=0}^{n-1} W_{r+\frac{1}{2}} \sin \frac{i\pi}{n} (r + \frac{1}{2}), \quad R_i[\theta_r] = \sum_{j=1}^{n-1} \theta_r \cos \frac{i\pi}{n} r + \frac{\theta_n}{2} (-1)^i + \frac{\theta_0}{2}, \\ C_i[H_r] &= \sum_{j=1}^{n-1} H_r \cos \frac{i\pi}{n} r, \quad D_i = 2(1 - \cos \frac{i\pi}{n}). \end{aligned} \quad (6)$$

今両端単純支持として水平外力を作用していないとする。さらに単位荷重  $P$  が第 2 点に作用したとすると

$$C_i[H_r] = \bar{C}_i[H_{r+\frac{1}{2}}] = \bar{S}_i[P_{r+\frac{1}{2}}] = H_n = H_o = W_n = W_o = 0, \quad S_i[P_r] = P \sin \frac{i\pi}{n} \xi.$$

解式の一例を示すと音材力とたわみに関しては次のようになる。

$$N_{r-\frac{1}{2}, r+\frac{1}{2}} = \frac{PJA}{h} \left[ \frac{6}{K} \left\{ -\frac{r(n-\xi)}{\xi(n-r)} + \left( \frac{6}{K} - \frac{1}{H} \right) G(r, \xi) \right\} \right]_{r \geq \xi}^{r < \xi} \quad (7)$$

$$N_{r+\frac{1}{2}} = \frac{PjD}{h} \left[ \frac{6}{K} \left\{ -\frac{\frac{n-\xi}{n}}{\frac{\xi}{n}} + \left( \frac{6}{K} - \frac{1}{H} \right) \Delta r G(r, \xi) \right\} \right]_{r \geq \xi}^{r < \xi} \quad (9)$$

$$W_r = P \bar{J} \lambda \left[ \left( \frac{\frac{6\alpha_1}{K} - \frac{6\alpha_2 H}{K^2}}{K} \right) \left\{ \frac{r(n-\xi)}{n} \right\} + \left( 1 - \frac{\alpha_2}{K} \right) \left\{ \frac{\frac{r(n-\xi)}{n} \{ \xi(2n-\xi) - r^2 \}}{\xi(n-r)} \right\} + \frac{(K\alpha_1 - H\alpha_2)(K-6H)}{K^2 H} G(r, \xi) \right] \begin{cases} r < \xi \\ r \geq \xi \end{cases} \quad (11)$$

$$J = \frac{\lambda^2}{6EI}, \quad \mu = \frac{E}{h^2}, \quad \alpha_1 = J(1 + \frac{3}{2}\mu), \quad \alpha_2 = 6J(1 + \mu), \quad K = \alpha_2 + \frac{\lambda^2}{h^2} \left( \frac{1}{EA_1} + \frac{1}{EA_2} \right), \quad H = J(1 + \frac{3}{2}\mu) + \frac{\lambda^2}{4EA_1h^2} - \frac{2d^3}{E_3A_3h^2\lambda},$$

$$G(r, \xi) = \begin{cases} \frac{\sinh(a(n-\xi)) \sinh ar}{\sinh a\xi \cdot \sinh a(n-r)} & r < \xi \\ \frac{\sinh a\xi \cdot \sinh ar}{\sinh a(n-\xi)} & r \geq \xi \end{cases} \quad \text{for } \frac{K}{2H} \leq 0, \quad a = \cosh^{-1} \left| \frac{2 - K/H}{2} \right|.$$

### 3. 数值計算例

(7)～(11)式中では注目する格点または部材で  
きを変化させることにより影響線を求めるこ  
とができる。数値計算に対する諸係数は次の  
値である。

$$E_1 = E_2 = E_3 = 2.1 \times 10^{10} \text{ kg/m}^2$$

$$A_2 = (a) 0.001 \text{ m}^2, (b) 0.002 \text{ m}^2, (c) 0.005 \text{ m}^2$$

$$A_1 = 0.005 \text{ m}^2, A_3 = 0.03 \text{ m}^2, I = 0.006036 \text{ m}^4$$

$$\lambda = 3\text{m}, n = 10, h = 2\text{m}, d = 2.5\text{m}, e = 0.52\text{m}$$

